

# دانشور

## پژوهشگی

### مقایسه نتایج خوشبندی سلسله مراتبی و غیرسلسله مراتبی پروتئین‌های مرتبط با سرطان‌های مری، معده و کلون براساس تشابهات تفسیر هستی‌شناسی ژنی

نویسنده‌گان: حمید علوی مجده<sup>\*</sup>، بلدا زرنگارنیا<sup>۱</sup>، مصطفی رضایی طاویرانی<sup>۲</sup>،  
نصیبه خیر<sup>۳</sup>، علی‌اکبر خادم معبودی<sup>۴</sup>

۱. دانشیار گروه آمار زیستی دانشکده پیراپزشکی دانشگاه علوم پزشکی شهید  
بهشتی، تهران، ایران

۲. کارشناس ارشد آمار زیستی، مرکز تحقیقات پرتوژومیکس دانشگاه علوم پزشکی شهید  
بهشتی، تهران

۳. دانشیار گروه علوم پایه دانشکده پیراپزشکی دانشگاه علوم پزشکی شهید بهشتی، تهران، ایران

۴. کارشناس ارشد علوم سلولی ملکولی، مرکز تحقیقات پرتوژومیکس دانشگاه علوم پزشکی  
شهید بهشتی، تهران، ایران

۵. استادیار گروه آمار زیستی دانشکده پیراپزشکی دانشگاه علوم پزشکی شهید بهشتی، تهران

\*نویسنده مسئول: E-mail: alavimajd@gmail.com

#### چکیده

مقدمه و هدف: به کارگیری روش‌های پرتوژومیک و پیشرفت پژوهش‌های با توان بالای پروتئین‌ها زمینه‌ساز نیاز به روش‌های تازه در تحلیل‌های بیوانفورماتیک نتایج آزمایشگاهی شده است. تحلیل خوشبایی، روش آماری مناسبی است که می‌تواند در تحلیل این-گونه داده‌ها، استفاده شود. هدف از این پژوهش، ارزیابی کارایی روش خوشبندی فازی در تحلیل پروتئین‌های مرتبط با سرطان‌های دستگاه گوارش بوده است.

مواد و روش‌ها: در این پژوهش، پروتئین‌های شناسایی شده مرتبط با سرطان‌های مری، معده و کلون با استفاده از روش‌های خوشبندی سلسله مراتبی و غیرسلسله مراتبی تحلیل و بررسی شدند. براساس هر یک از ابعاد هستی‌شناسی ژنی، پروتئین‌ها را خوشبندی کردند، نتایج را با یکدیگر مقایسه کردیم.

یافته‌ها: نتایج به دست آمده نشان داد، عملکرد دو روش خوشبندی سلسله مراتبی و تقسیم-بندی به یکدیگر نزدیک بوده است. با وجود چشمگیر تبدیل عرض سایه‌نمای کل خوشبندی‌ها، بیشتر پروتئین‌های در هر خوشبایی، دارای اشتراکات بیولوژیکی قابل توجهی هستند. نتایج به دست آمده نشان می‌دهد، روش‌های خوشبندی توانسته‌اند الگوهای تفسیری جدیدی را که قبل از خوشبندی پروتئین‌ها مشخص نشده بودند، آشکار سازند.

نتیجه‌گیری: با بررسی نتایج حاصل از خوشبندی PAM و خوشبندی سلسله مراتبی، مشخص شد، نتایج این دو خوشبندی بسیار مشابه یکدیگر هستند. شاید بتوان گفت، روش PAM به دلیل معرفی نماینده‌ای برای هر خوشبایی، موشکافانه‌تر عمل کرده، در حالی‌که روش سلسله مراتبی ساده‌تر بوده است. همچنین به نظر می‌رسد، پروتئین‌هایی که براساس تشابهات جایگاه سلولی در کنار یکدیگر قرار می‌گیرند، دارای تشابهات بیولوژیکی و عملکردی نیز هستند که باید این مسئله بیشتر بررسی شود.  
وازگان کلیدی: بیوانفورماتیک، تفسیر هستی‌شناسی ژنی (Gene Ontology)، خوشبندی، سرطان دستگاه گوارش

دوماهنامه علمی-پژوهشی  
دانشگاه شاهد  
سال هفدهم - شماره ۸۸  
شهریور ۱۳۸۹

وصول: ۸۹/۶/۱۶  
آخرین اصلاحات: ۸۹/۸/۱  
پذیرش: ۸۹/۸/۸

## مقدمه

دارند اما اغلب آن‌ها نتایج حاصله را در یک تصویر ساده و شفاف و قابل تفسیر ارائه نمی‌دهند (۵). بوریس آدریان و همکاران، در سال ۲۰۰۴ نرم‌افزار GO-Clust را معرفی کردند که از ساختار درختی پایگاه-داده هستی‌شناسی ژنی به عنوان چارچوبی برای خوش‌بندی داده‌های بیان ژن، استفاده می‌کند (۶). پوپسکو و همکاران، در سال ۲۰۰۴ به منظور یافتن عبارت‌هایی که بتوانند در خوشبندی براساس تشابهات هستی‌شناسی ژنی نمایندگان خوبی برای خوش‌بندی بتوانند از روش خوشبندی سلسله مراتبی و اندازه مشابهت‌های حاصل از BLAST و اندازه مشابهت فازی استفاده کردند (۷). هوگو و همکاران، در سال ۲۰۰۶ به منظور بررسی کارایی خوشبندی پروتئین‌ها در تسريع مطالعه آن‌ها، پروتئین‌ها را به کمک اندازه مشابهت‌های حاصل از BLAST خوشبندی کردند. آن‌ها پس از بررسی خوش‌ها از لحاظ هستی‌شناسی ژنی، متوجه شدند مرکز هر خوش می‌تواند اطلاعات پروتئین‌های خوش را در برگیرد (۸). کریستین اواسکا و همکاران، در سال ۲۰۰۸ با اندازه‌گیری مشابهت‌های بین عبارات هستی‌شناسی ژنی و اجرای روش خوشبندی سلسله مراتبی توانستند روشی ارائه‌دهند که در شناسایی سریع ژن‌هایی که دارای عبارات GO مشترک هستند، کمک کند (۹).

در این پژوهش، روش‌های خوشبندی تقسیم‌بندی، حول میدوئیدها و خوشبندی سلسله مراتبی تجمعی به منظور مطالعه پروتئین‌های مرتبط با سرطان‌های دستگاه گوارش، استفاده شده و هدف این بوده است تا بدانیم، آیا با خوشبندی پروتئین‌ها براساس تشابهات بین تفاسیر هستی‌شناسی آنها می‌توان به الگوهایی در زیرمجموعه‌هایی از پروتئین‌ها دست یافت که در مطالعه جداگانه آن‌ها، به نظر نیامده باشند؟ همچنین با مقایسه نتایج خوشبندی سلسله مراتبی و غیرسلسله مراتبی، عملکرد آن‌ها را در تفسیر بهتر پروتئین‌ها، با یکدیگر مقایسه کنیم.

سرطان، یکی از عمدۀ علل اختلالات، مرگ و میر و ناتوانی در سراسر جهان است. براساس آمار سازمان بهداشت جهانی تا سال ۲۰۲۰ میلادی، شیوع سرطان در موارد جدید با پنجاه درصد افزایش رویه‌رو خواهد شد و این بیماری در سال ۲۰۳۰ اولین عامل مرگ و میر در دنیا به شمار خواهد آمد (۱۱). از جمله سرطان‌های شایع در جهان، سرطان‌های دستگاه گوارش هستند که در کشورهای در حال توسعه، از شایع‌ترین سرطان‌های حال حاضر به شمار می‌روند. به طور مثال، سرطان معده اکنون به تهابی نزدیک به ده درصد کل سرطان‌ها را در جهان تشکیل می‌دهد و یکی از شایع‌ترین انواع سرطان‌ها است (۳). بدینه‌ی است، حجم وسیعی از مطالعات پزشکی معطوف به شناسایی عوامل مؤثر در ابتلا به سرطان و همچنین درمان آن و به طور کلی، یافتن روش‌هایی برای پیش‌گیری از ابتلا به انواع سرطان شده است. در این میان، شناسایی بیومارکرهای وابسته به بیماری که پیش از ظهور علائم بیماری خود را نشان دهنند، اهمیت ویژه‌ای خواهد داشت.

پروتئین‌ها به دلایل مختلف، بیومارکرهای بسیار خوبی به شمار می‌روند. با بررسی پروتئین‌ها می‌توان به طور مستقیم، عوامل مؤثر در بیماری را مطالعه کرد. از طرفی، تنها با مطالعه پروتئین‌ها می‌توان تغییرات پس از ترجمه را بررسی کرد (۴). با پیشرفت آزمایش‌های پروتئومیکی با توان بالا، مانند آرایه‌بندی پروتئین‌های تصفیه‌شده، لازم است پروتئین‌ها را به صورت جمعی مطالعه کنیم. البته این برخلاف روش سنتی تحلیل در هر بار یک پروتئین است. باید دانست، زمانی که تعداد پروتئین‌ها زیاد باشد، امکان این‌که در هر بار آزمایش یکی از آن‌ها را بررسی کنیم، وجود ندارد. علاوه بر این، شاید الگوهای جالبی در هر مجموعه از پروتئین‌ها وجود داشته باشد که اگر هر بار یکی از آن‌ها را تحلیل کنیم به نظر نیایند. ابزار در دسترس و بدون محدودیت بسیاری، برای تحلیل مجموعه‌های پروتئین‌ها وجود

خوشه‌ها هستند که باید بتوانند به خوبی ساختار داده‌ها را نشان دهند. نمایندگان هر خوشه کمترین مقدار متوسط عدم تشابه را با بقیه اعضای خوشه دارند. پس از مشخص شدن میدوئیدها  $k$  خوشه به این صورت ساخته می‌شود که هر عنصر به خوشه‌ای می‌رود که کمترین فاصله را با نماینده آن خوشه داشته باشد (۱۴ و ۱۵). پس از اجرای روش‌های خوشه‌بندی و حاصل شدن خوشه‌ها، می‌توان یک نمایش گرافیکی برای خوشه‌بندی به روش PAM داشت که آنرا Silhouette یا سایه‌نما می‌نامیم. می‌توان به ازای هر خوشه، نمودار سایه‌نما داشت و با کنار هم قرار دادن آن‌ها کیفیت خوشه‌بندی‌ها را با یکدیگر مقایسه کرد. محور افقی این نمودار نشان‌دهنده عرض خوشه‌ها و محور عمودی، نحوه تعلق گرفتن عناصر به خوشه‌ها را نشان می‌دهد.

روش‌های خوشه‌بندی سلسله مراتبی با یک سری از تقسیم‌بندی‌های متوالی انجام می‌شود. روش‌های خوشه‌بندی سلسله مراتبی بر دو دسته‌اند: سلسله مراتبی تجمعی (Agglomerative) و سلسله مراتبی تقسیمی (Divisive). روشی را که ما استفاده کردیم، خوشه‌بندی سلسله مراتبی تجمعی ترکیب براساس پیوند متوسط (AGNES) است (۱۴ و ۱۵). در روش‌های سلسله مراتبی، نخست به تعداد داده‌ها، خوشه وجود دارد. آنگاه عناصری که بیشترین شباهت را دارند، دسته‌بندی شده و این دسته‌های اولیه براساس شباهت‌هایشان ظاهر می‌شوند. سرانجام، وقتی شباهت‌ها کاهش می‌یابد، تمام زیردسته‌ها به یک خوشه تبدیل می‌شوند. نتاج حاصل از این خوشه‌بندی را می‌توان در نمودار دندروگرام (Dendrogram) یا درختی نشان داد. در دندروگرام، محور عمودی فاصله بین خوشه‌ها را اندازه‌گیری می‌کند، ارتفاع هر یک از خوشه‌ها بیانگر آن است که، دو خوشه موردنظر در چه نقطه‌هایی با یکدیگر ترکیب شده‌اند (۱۴ و ۱۵).

یکی از مسائل مهم در خوشه‌بندی، تعیین تعداد بهینه خوشه‌های است. مقدار کوچک  $k$  خوشه‌های بزرگی را نتیجه می‌دهد که ممکن است، روابطی را در آن خوشه نشان دهند که واقعاً وجود نداشته باشد. مقادیر بزرگ  $K$  نیز خوشه‌های کوچکی را نتیجه می‌دهد که ممکن است،

## مواد و روش‌ها

در این پژوهش، از داده‌های جمع‌آوری شده در مرکز تحقیقات پروتئومیک دانشکده پیراپزشکی دانشگاه علوم پزشکی شهید بهشتی، استفاده شده است. این داده‌ها، شامل حدود پانصد پروتئین شناسایی شده مرتبط با سرطان‌های مری، معده و کلون هستند که پس از بررسی‌های صورت‌گرفته تعداد هفده پروتئین، به عنوان پروتئین‌های دخیل مشترک در سرطان‌های مری، معده و کلون شناسایی شده‌اند (۱۰).

به منظور تحلیل این پروتئین‌ها براساس هستی‌شناسی ژنی، اطلاعات موردنیاز از وبسایت مربوط به اطلاعات هستی‌شناسی ژنی جمع‌آوری شد (۱۱). پروژه GO سه دسته واژگان را برای توصیف ژن و خواص محصول ژنی مانند پروتئین در هر ارگانیسم فراهم می‌کند. از لحاظ هستی‌شناسی، هر پروتئین را می‌توان از سه جهت بررسی کرد. این سه ویژگی عبارتند از: فرایند بیولوژیکی (BP) Biological Process (BP)، جایگاه سلولی (CC) Cellular Component (CC) و عملکرد ملکولی (MF) Molecular Function (MF). براساس هر یک از این Gene Ontology وجود، گراف‌های GO از وبسایت استخراج شدند.

برای اندازه‌گیری اندازه مشابهت‌های بین پروتئین‌ها، از میان روش‌های موجود، از روش simUI استفاده شد. براساس این روش، تشابه گرافیکی بین دو پروتئین عبارت است از: تعداد گره‌های مشترک در هر دو گراف GO تقسیم بر تعداد گره‌ها در اجتماع دو گراف با هم (۱۲ و ۱۳).

روش‌های خوشه‌بندی مشتمل بر روش‌های خوشه‌بندی سلسله مراتبی و غیرسلسله مراتبی هستند. روش‌های غیرسلسله مراتبی برای دسته‌بندی کردن اقلام به جای متغیرها به مجموعه‌ای از  $k$  خوشه طراحی شده است. یکی از روش‌های خوشه‌بندی غیرسلسله مراتبی، روش تقسیم‌بندی حول  $k$  میدوئید (Partitioning Around Medoids) است. الگوریتم به کار رفته در این روش، براساس جست‌وجو برای یافتن  $K$  عنصر نماینده از بین مجموعه داده‌هاست که این  $k$  عنصر نماینده را Medoids می‌نامند. در حقیقت، میدوئیدها نمایندگان

بررسی کنیم، عبارت‌های GO غنی‌شده آماری مربوط به پروتئین‌های هر خوشه را با عبارت‌های غنی‌شده آماری در کل مجموعه داده‌ها مقایسه می‌کنیم. چنانچه این عبارات در مجموعه کل داده‌ها به عنوان غنی‌شده آماری شناسایی نشده‌باشند، آنگاه روش AGNES الگوهای تفسیر جدیدی را در مجموعه داده‌ها آشکارساخته است.

به منظور بررسی درستی عملکرد روش خوشبندی (AGNES) از معیار همبستگی کوفتیک (Cophenetic Correlation) که همبستگی بین فواصل اولیه بین پروتئین‌ها و فواصل کوفتیک حاصل از خوشبندی را محاسبه می‌کند، استفاده می‌کنیم (۱۷). برای مقایسه نتایج خوشبندی‌های PAM و AGNES نیز از شاخص دان (Dunn Index)، ضریب همبستگی Hubertgamma و wb.ratio (average.within/average.between) می‌کنیم. (۱۸ و ۱۹ و ۲۰)

## نتایج

برای اجرای الگوریتم خوشبندی از زبان برنامه-نویسی R استفاده شد (۲۱) و Package های موردنیاز نیز از وب‌سایت bioconductor دانلود شدند (۲۲). امتیازهای مشابهت براساس روش simUI برای تمام هفده پروتئین برای هر وجه GO به طور جداگانه محاسبه شد. تعداد بهینه خوشه‌ها براساس روش silcheck برای خوشبندی به روش PAM به ترتیب ۵ و ۴ و ۵ خوشه براساس فرایند بیولوژیکی (BP) و مؤلفه سلولی (CC) و تابع ملکولی (MF) و برای خوشبندی به روش AGNES برش دندروگرام در تعداد ۴ خوشه براساس فرایند بیولوژیکی (BP) و مؤلفه سلولی (CC) و تابع ملکولی (MF) تعیین شد.

نتایج حاصل از خوشبندی به روش PAM را می‌توان در جدول ۱ مشاهده کرد. نمودار سایه‌نمای این سه خوشبندی در شکل‌های ۱، ۲ و ۳ ارائه شده‌اند. برچسب میدوئید هر خوشه عبارت GO مربوط به آن پروتئین است که در مقابل پروتئین میدوئید هر خوشه و عرض سایه‌نمای کل در پایین هر خوشبندی نوشته شده است. عرض سایه‌نمای مربوط به هر خوشه نیز در مقابل هر خوشه به همراه تعداد پروتئین‌ها متعلق به آن خوشه قرار گرفته است.

اطلاع مناسبی را در اختیار قرار ندهد زیرا روابط بین تعداد کمتری از افلام را نشان می‌دهند. به منظور محاسبه تعداد بهینه خوشه‌ها، از روش Silcheck در Bioconductor براساس بیشینه کردن متوسط عرض سایه-نمای کل با تعیین تعداد حداقل پنج خوشه، استفاده کردایم (۱۲). برای ارزیابی و اعتبارسنجی روش خوشبندی PAM براساس تشابهات تفاسیر هستی-شناسی ژنی، نتایج خوشبندی PAM را با یک روش تحلیلی مورد استفاده در تحلیل ریزآرایه DNA به کمک تعیین عبارت‌های GO غنی‌شده آماری مقایسه می‌کنیم. به این صورت که تفسیر GO یک زیرمجموعه از ملکول‌ها با تفسیر GO مجموعه مرجع (UniProtKB) مقایسه می‌شود. اگر هر عبارت یا عبارت‌های نیایی آن (عبارت نیایی، والد عبارت موردنظر ما در گراف GO است). بیشتر از حد معمول در هر زیرمجموعه نسبت به مجموعه مرجع رخ دهد، می‌گوییم آن عبارت GO غنی‌شده آماری است (۱۶ و ۱۷).

در روش خوشبندی PAM، برای هر خوشه یک نماینده (میدوئید) تعیین می‌شود که برچسب هر خوشه تفسیر GO پروتئین نماینده خوشه یک عبارت غنی‌شده آماری برای پروتئین‌های آن خوشه باشد، آنگاه می‌فهمیم برچسب پروتئین میدوئید به درستی تفسیر GO پروتئین‌ها را در آن خوشه نشان می‌دهد (۱۲).

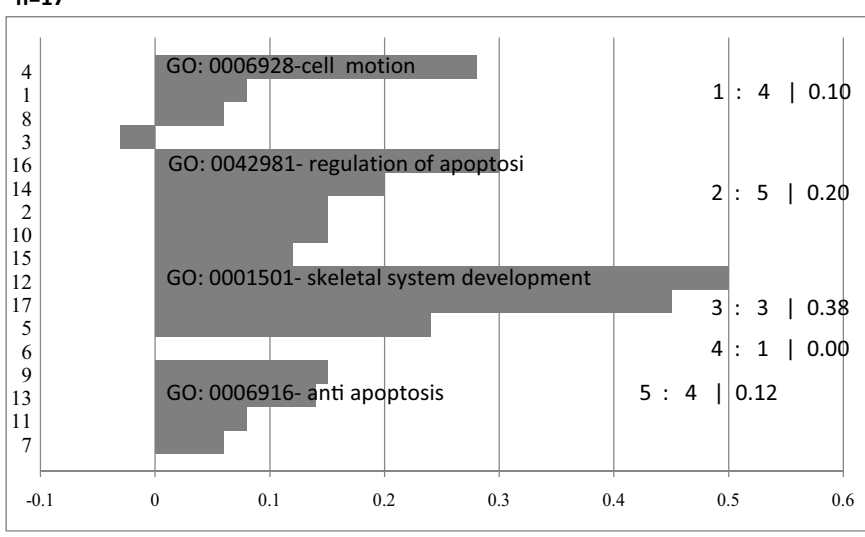
برای آن‌که توانایی روش خوشبندی PAM را در آشکارسازی الگوهای تفسیر جدید در مجموعه داده‌ها بررسی کنیم، عبارت‌های GO پروتئین‌های میدوئید را با عبارت‌های غنی‌شده آماری در کل مجموعه داده‌ها مقایسه می‌کنیم. چنانچه عبارت GO میدوئیدها عبارات غنی‌شده آماری در کل مجموعه داده‌ها باشند، آنگاه در حقیقت، به اطلاعات جدیدی در مجموعه داده‌ها دست نیافته‌ایم. اما اگر این عبارات در مجموعه کل داده‌های غنی‌شده آماری نباشند، آنگاه روش PAM الگوهای تفسیر جدیدی را در مجموعه داده‌هایمان آشکار کرده که قبلاً شناسایی نشده‌بودند (۱۲).

برای آن‌که توانایی روش خوشبندی AGNES را در آشکارسازی الگوهای تفسیر جدید در مجموعه داده‌ها

جدول ۱. نتایج خوشبندی به روش PAM

| Name                          |               | BP      |                  | CC      |                  | MF      |                  |
|-------------------------------|---------------|---------|------------------|---------|------------------|---------|------------------|
| cluster                       | Standard name | cluster | Silhouette width | cluster | Silhouette width | cluster | Silhouette width |
| ۱                             | CAH2          | ۱       | +0.91            | ۱       | +0.12            | ۱       | +0.16            |
| ۲                             | SODM          | ۲       | +0.19            | ۲       | +0.14            | ۱       | +0.15            |
| ۳                             | K2C8          | ۱       | -0/+142          | ۳       | +0.66            | ۲       | +0.45            |
| ۴                             | VIME          | ۱       | +0.25            | ۳       | +0.66            | ۲       | +0.47            |
| ۵                             | SPRC          | ۳       | +0.22            | ۴       | +0.50            | ۱       | +0.15            |
| ۶                             | DESM          | ۴       | +0.00            | ۱       | +0.28            | ۲       | +0.47            |
| ۷                             | PRDX2         | ۵       | +0.05            | ۱       | +0.65            | ۳       | +0.00            |
| ۸                             | ACTB          | ۱       | +0.06            | ۲       | +0.24            | ۲       | +0.14            |
| ۹                             | AIAT          | ۵       | +0.18            | ۴       | +0.30            | ۴       | +0.19            |
| ۱۰                            | HSPB1         | ۲       | +0.19            | ۲       | -0.24            | ۲       | +0.31            |
| ۱۱                            | S10A9         | ۵       | +0.91            | ۲       | +0.25            | ۱       | +0.07            |
| ۱۲                            | ANXA2         | ۳       | +0.48            | ۴       | +0.34            | ۴       | +0.40            |
| ۱۳                            | ANXA5         | ۵       | +0.16            | ۱       | +0.65            | ۴       | +0.40            |
| ۱۴                            | PCNA          | ۲       | +0.2             | ۲       | +0.25            | ۵       | +0.00            |
| ۱۵                            | CALR          | ۲       | +0.17            | ۲       | -0.022           | ۱       | +0.09            |
| ۱۶                            | PHB           | ۲       | +0.27            | ۲       | +0.15            | ۲       | +0.20            |
| ۱۷                            | TAGL          | ۳       | +0.44            | ۱       | +0.65            | ۲       | +0.24            |
| Number of proteins clustered: |               | ۱۷      |                  | ۱۷      |                  | ۱۷      |                  |

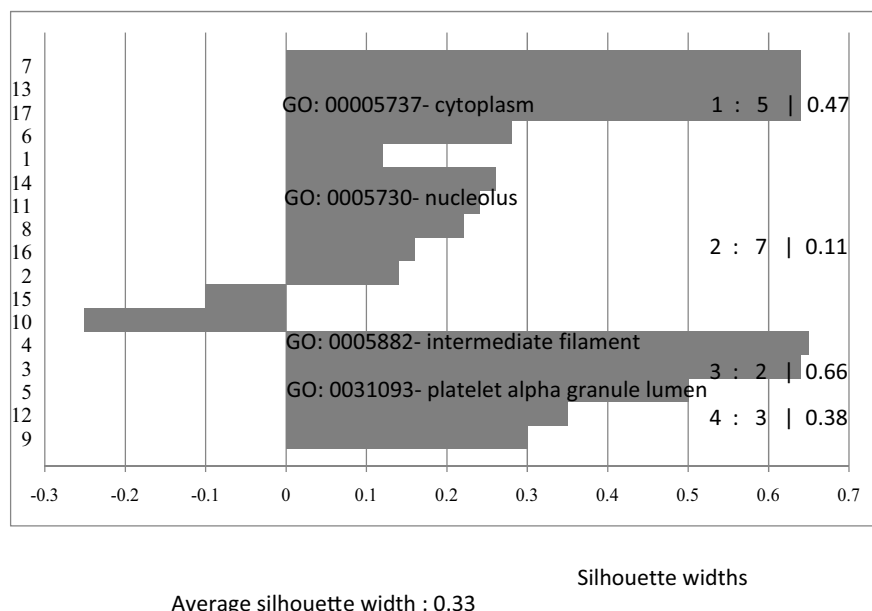
PAM clustering for BP  
n=17



Average silhouette width : 018

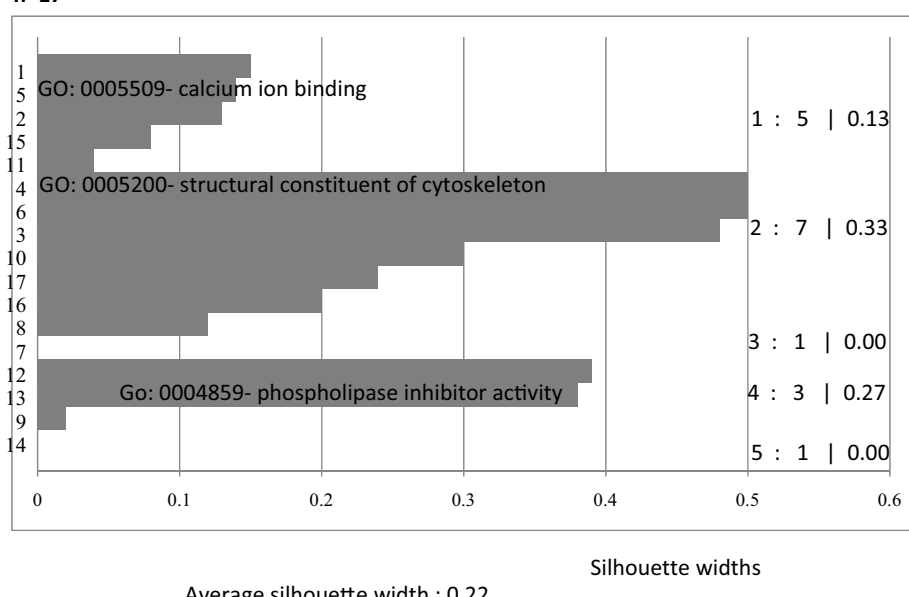
شکل ۱- نمودار سایه‌نما برای خوشبندی PAM براساس BP

PAM clustering for CC  
n=17



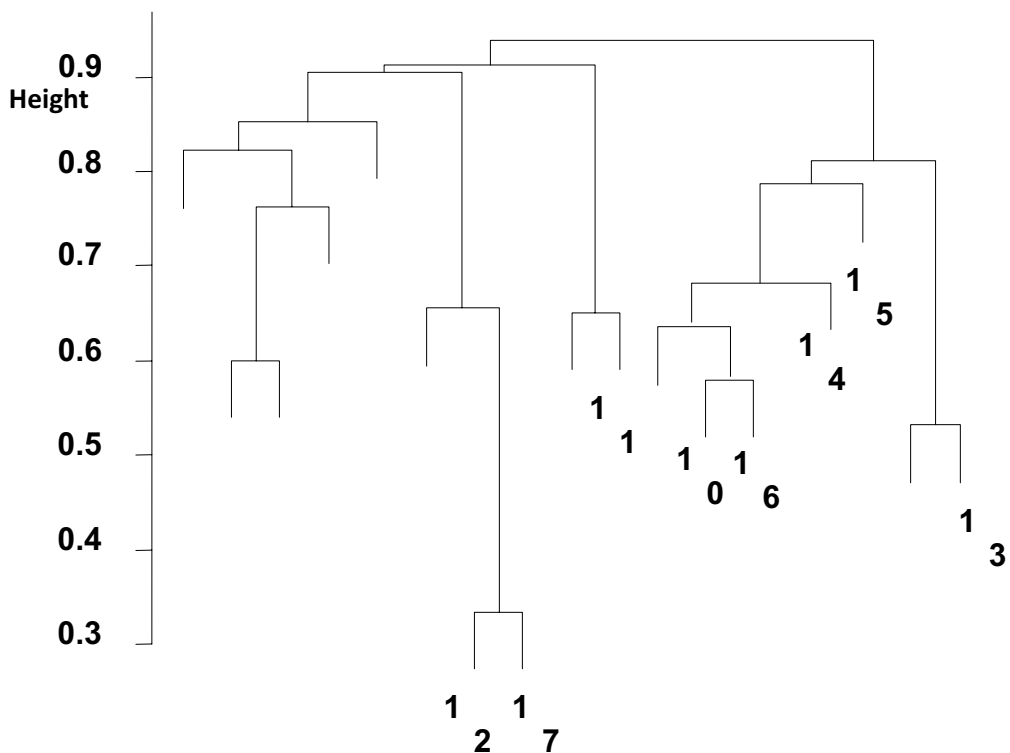
شکل ۲- نمودار سایه‌نما برای خوشبندی PAM براςas CC

PAM clustering for CC  
n=17



شکل ۳- نمودار سایه‌نما برای خوشبندی PAM براςas MF

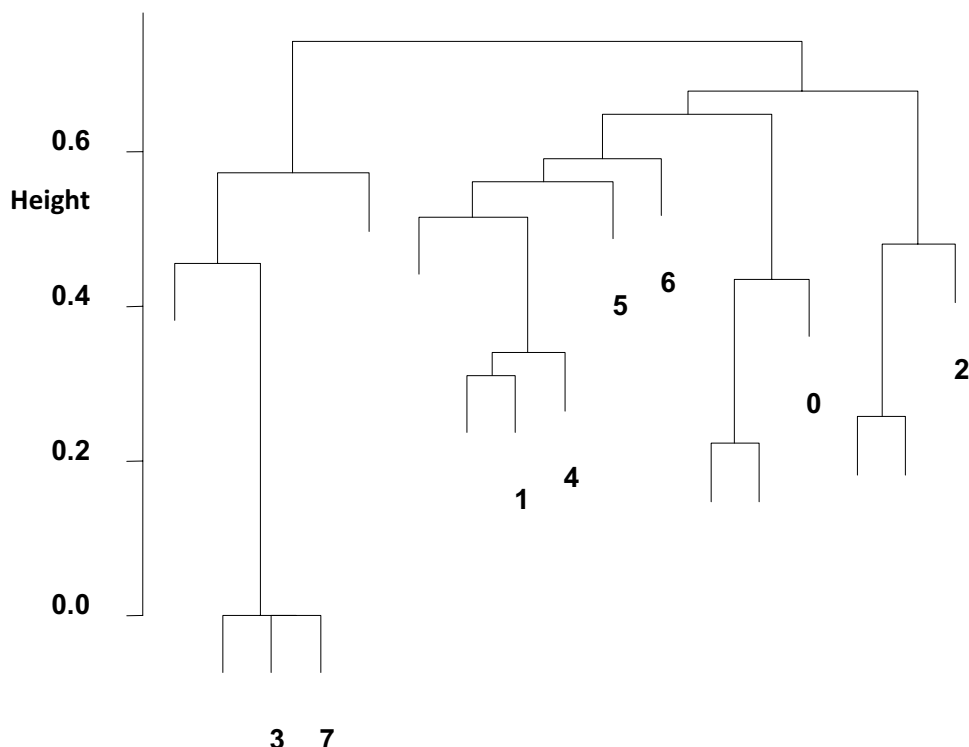
Dendrogram of agnes ("BP")



Agglomerative Coefficient = 0.34

شکل ۴- نمودار دندروگرام برای خوشه‌بندی AGNES براساس BP

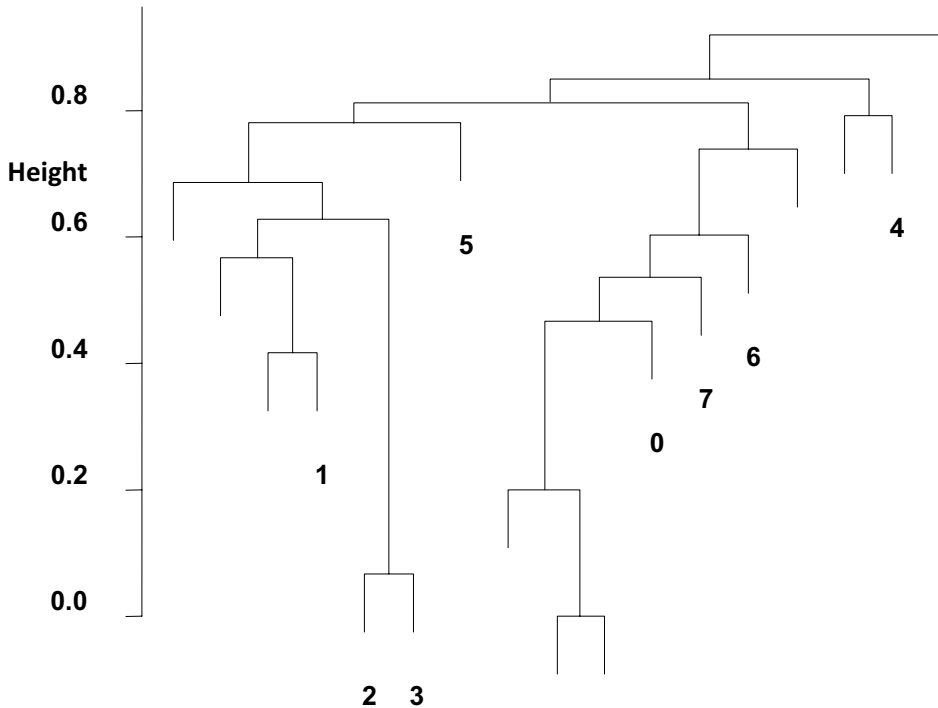
### Dendrogram of agnes ("CC")



**Agglomerative Coefficient = 0.56**

شکل ۵- نمودار دندروگرام برای خوشبندی AGNES برا اساس CC

Dendrogram of agnes("MF")



$$\text{Agglomerative Coefficient} = 0.49$$

شکل ۶- نمودار دندروگرام برای خوشه‌بندی AGNES برا اساس MF

ضعیفی شده‌اند. خوشه سوم ( $S_i^C = 0.38$ ) خوشه به نسبت خوبی است. بررسی بیشتر نشان می‌دهد، هر سه این پروتئین‌ها در توسعه برخی از اندام‌ها نقش دارند. پروتئین‌های شماره ۵ و ۱۲ در توسعه سیستم اسکلتی و پروتئین ۱۷ نیز در توسعه اندام ماهیچه‌ای نقش دارد. علاوه بر این هر سه این پروتئین‌ها در اتصال به کلسیم نقش دارند. همچنین به رغم کوچک شدن عرض خوشه پنجم ( $S_i^C = 0.12$ ) پروتئین‌های شماره ۹ و ۱۱

همان‌طور که دیده می‌شود ساختارهای خوشه‌بندی بر اساس MF و BP ( $S_i^D = 0.18$ ,  $S_i^D = 0.22$ ) نیز ساختار خوشه‌بندی بر اساس CC ( $S_i^D = 0.33$ ) نیز ساختار به نسبت خوبی بوده است که البته به تحلیل‌های بیشتر نیاز دارد.

مقدار  $S_i^D$  برای خوشه‌بندی بر اساس BP مقداری ضعیف و در کل تعداد ۳ مقدار از ۴ مقدار  $S_i^C$  مقداری

پروتئین‌های این خوشه پروتئین‌های بازدارنده آنزیمی هستند.

خوشبندی براساس  $S_i^C = 0.33$  با ساختار خوشبندی به نسبت معادلی بوده است. خوشه‌های اول ( $S_i^C = 0.47$ ) و سوم ( $S_i^C = 0.66$ ) دارای عرض خوشه‌های خوبی هستند و به خوبی از بقیه خوشه‌ها جدا شده‌اند. هر پنج پروتئین موجود در این خوشه، در سیتوپلاسم فعالیت دارند. هر دو پروتئین خوشه سوم نیز در سیتوپلاسم و در قسمت Inter Medium Filament فعالیت می‌کنند، بنابراین به درستی در کنار یکدیگر قرار گرفته‌اند. اما در مورد پروتئین‌های خوشه چهارم باید گفت، با وجود عرض خوشه متوسط  $0.38$ ، هر سه پروتئین شماره  $5$  و  $9$  و  $12$  در فضای خارج از سلول و در Basement Membrane فعالیت دارند و به درستی در یک خوشه قرار گرفته‌اند. خوشه دوم نسبت به بقیه خوشه‌ها براساس تشابهات CC دارای عرض خوشه کمتری ( $S_i^C = 0.11$ ) است. با وجود کوچکی عرض خوشه، علاوه بر آن‌که پروتئین‌های شماره  $2$ ،  $8$ ،  $10$ ،  $11$  و  $15$  در سیتوپلاسم فعال هستند، پروتئین‌های شماره  $8$ ،  $10$ ،  $11$ ،  $14$  و  $15$  نیز در نوکلئوز فعالیت دارند.

بررسی خوشه‌های حاصل از اجرای روش PAM، براساس تشابهات CC نشان می‌دهد، عناصر موجود در این خوشه‌ها از لحاظ کارکرد و شرکت در فرایندهای بیولوژیکی بسیار به یکدیگر نزدیک هستند. پروتئین‌های شماره  $13$  و  $17$  درون خوشه اول متصل شوندگان به یون‌های کلسیم و پروتئین شماره  $1$  متصل شوندگان به یون روی است. اما خوشه دوم، عرض سایه‌نمایی

( $S_i^C = 0.11$ ) کوچکی دارد. با این حال، چهار پروتئین از پروتئین‌های این خوشه به شماره‌های  $2$ ،  $10$ ،  $15$  و  $16$  در تنظیم Apoptosis نقش دارند. خوشه سوم، عرض خوشه ( $S_i^C = 0.66$ ) خوبی داشته است و هر دو پروتئین شماره  $3$  و  $4$  موجود در این خوشه در فرایندهای بیولوژیکی اثرات متقابل بین اندام‌ها نقش داشته، در سلول‌های ماهیچه‌ای فعالیت دارند. در خوشه چهارم نیز

و  $13$  درون این خوشه پروتئین‌های بازدارنده هستند. پروتئین‌های شماره  $9$  و  $11$  در فراینده بیولوژیکی Inflammatory Response نقش دارند و پروتئین‌های شماره  $7$  و  $13$  نیز تنظیم کننده‌های Apoptosis هستند. در خوشه اول نیز با وجود عرض خوشه کوچک ( $S_i^C = 0.10$ ) پروتئین‌های شماره  $4$  و  $3$  در اثرات متقابل بین ارگانیسم‌ها و پروتئین‌های شماره  $4$  و  $8$  نیز در حرکت سلول نقش دارند. همچنین پروتئین‌های شماره  $1$  و  $3$  و  $8$  هر سه در سیتوپلاسم موجودند و دو پروتئین شماره  $3$  و  $4$  نیز در سلول‌های ماهیچه‌ای فعالیت می‌کنند. خوشه دوم نیز مقدار عرض خوشه کوچکی ( $S_i^C = 0.20$ ) دارد، اما چهار پروتئین شماره  $2$ ،  $10$ ،  $15$  و  $16$  موجود در این خوشه، در تنظیم Apoptosis نقش دارند.

$S_i^D$  مقدار برای خوشبندی براساس MF نیز مقداری کمتر از  $0.25$  شده است که نشان می‌دهد، ساختار خوشبندی چشمگیری به دست نیامده است. مقدار  $S_i^C$  در خوشه‌های سوم و پنجم، صفر شده است زیرا در هر کدام از این خوشه‌ها تنها یک پروتئین قرار گرفته است. در خوشه اول،  $S_i^C = 0.13$  شده است که مقدار کوچکی است. به نظر می‌رسد، این خوشه از بقیه خوشه‌ها به خوبی جدانشده است. اما با وجود کوچکی عرض خوشه، بررسی نشان می‌دهد، پروتئین‌های شماره  $5$ ،  $11$  و  $15$  موجود در این خوشه، متصل شوندگان به یون‌های کلسیم و پروتئین‌های شماره  $1$  و  $15$  نیز متصل شوندگان به یون‌های روی هستند، بنابراین به درستی در کنار یکدیگر قرار گرفته‌اند. مقادیر عرض خوشه در خوشه‌های دوم ( $S_i^C = 0.33$ ) و چهارم ( $S_i^C = 0.27$ ) از  $0.25$  بیشتر شده‌اند. در خوشه دوم، سه پروتئین شماره  $3$ ،  $4$  و  $6$  در سلول‌های ماهیچه‌ای فعالیت می‌کنند و هر سه به خانواده Inter Medium Filament تعلق دارند. در خوشه چهارم نیز پروتئین‌های شماره  $12$  و  $13$  جزء خانواده Annexin هستند. در ضمن هر سه

پیش از خوشه‌بندی آن‌ها، Term Enrichment توانست تنها ۰/۲۹ (چهار خوشه از چهارده خوشه) از برچسب خوشه‌ها را به عنوان غنی‌شده آماری شناسایی کند، بنابراین روش PAM در خوشه‌بندی پروتئین‌ها براساس مشابهت‌های تفاسیر هستیشناصی ژنی و انتخاب عبارات GO پروتئین‌های میدوئید به عنوان برچسب خوشه‌ها، توانسته تفسیر بهتری از داده‌ها را در اختیار ما بگذارد و به عنوان ابزاری مفید در چهار خوشه (خوشه سوم مربوط به BP و خوشه اول، سوم و پنجم مربوط به MF) الگوهای تفسیر جدیدی را که قبلاً مشخص نشده‌اند، شناسایی کند.

برای اجرای روش خوشه‌بندی AGNES، ماتریس‌های مشابهت برای هر یک از وجوده GO به کمک روش simUI محاسبه و براساس هر یک از وجوده GO خوشه‌بندی اجرا شد. نمودارهای دندروگرام مربوط به این خوشه‌بندی را می‌توان در شکل‌های ۴، ۵ و ۶ مشاهده کرد. مقادیر ضریب ادغام (Agglomerative Coefficient) برای خوشه‌بندی براساس MF، BP، CC و به ترتیب ۰/۳۴، ۰/۴۹ و ۰/۵۶ به دست آمده‌اند. براساس مقادیر این ضریب می‌توان گفت، ساختار خوشه‌بندی براساس BP متعادل و براساس MF و CC خوب بوده است. متوسط عرض نمایی حاصله براساس برش بین دو الی پنج خوشه نیز در جدول ۲ نشان‌داده شده است. براساس مقادیر این جدول، تعداد بهینه چهار خوشه برای برش دندروگرام‌ها استفاده می‌شود.

پروتئین‌های شماره ۹ و ۱۲ بازدارنده‌های آنزیمی هستند و پروتئین‌های شماره ۵ و ۱۲ در گسترش سیستم اسکلتی نقش دارند. در ضمن، پروتئین شماره ۹ متصل‌شونده به پروتئاز و پروتئین‌های شماره ۵ و ۱۲ متصل‌شوندگان به یون‌های کلسیم هستند.

در مجموع می‌توان گفت با وجود آن‌که با استفاده از روش PAM خوشه‌هایی حاصل شده است که دارای عرض سایه‌نمای کل کوچکی هستند و ساختارهای خوشه‌بندی چشمگیری مشاهده نشده، اما خوشه‌های حاصل از لحاظ بیولوژیکی مفهوم داشته و به بررسی‌های بیشتر نیاز دارند. به خصوص در مورد خوشه‌بندی براساس مؤلفه سلولی، خوشه‌هایی حاصل شده است که عناصر آن‌ها از لحاظ کارکرد و شرکت در فرایندهای بیولوژیکی بسیار به یکدیگر نزدیک هستند.

برای ارزیابی اعتبار خوشه‌بندی‌های به دست آمده از روش PAM، عبارات غنی‌شده آماری خوشه‌ها نرمافزار Term Enrichment موجود در وب‌سایت هستی‌شناسی ژنی ( $P\text{-value}=0/05$ ) مشخص شدند. از کل تعداد چهارده خوشه ایجاد شده به روش PAM، تعداد هشت خوشه دارای حداقل یک عبارات غنی‌شده آماری بودند. پس از مقایسه آن‌ها با عبارت‌های GO میدوئیدهای خوشه‌ها معلوم شد، برچسب میدوئیدهای صدد رصد (هشت خوشه از هشت خوشه) از خوشه‌های تولید شده به روش PAM، عبارت‌های غنی‌شده برای آن خوشه‌ها هستند. این، نشان‌دهنده مناسبت انتخاب عبارت‌های GO پروتئین‌های میدوئید به عنوان برچسب خوشه‌هاست.

برای بررسی توانایی روش خوشه‌بندی PAM در شناسایی الگوهای جدید، در بررسی مجموعه داده‌ها

جدول ۲. متوسط عرض سایه‌نمای کل در خوشه‌بندی به روش AGNES

| Number of clusters | BP   | MF   | CC   |
|--------------------|------|------|------|
| 2                  | 0/14 | 0/18 | 0/27 |
| 3                  | 0/15 | 0/14 | 0/29 |
| 4                  | 0/20 | 0/23 | 0/33 |
| 5                  | 0/19 | 0/21 | 0/32 |

هایی قوی نبوده‌اند. این ساختارها براساس MF و BP ( $BP = 0/21, MF = 0/19$ ) ضعیف و ساختار

ساختار خوشه‌های به دست آمده از روش سلسله مراتبی، مانند نتایج به دست آمده از روش PAM، ساختار-

جدول ۳، می‌توان گفت، نتایج برای خوشبندی براساس CC بیشترین تطابق را داشته‌اند. به‌طور کل، نتایج بسیار به یکدیگر نزدیک بوده‌اند. از لحاظ بیولوژیکی، پروتئین‌هایی که در یک خوش‌قرار گرفته‌اند مانند نتایج روش PAM، دارای اشتراکات فراوانی هستند و به درستی در کنار یکدیگر قرار گرفته‌اند.

خوشبندی براساس  $S_i^D = 0/32$  (CC) نیز به‌نسبت متوسط بوده است. نتایج بدست آمده با برش دندروگرام‌ها در تعداد چهار خوش، بسیار مشابه نتایج بدست آمده از روش PAM هستند. برای بررسی میزان تطابق نتایج خوشبندی سلسله مراتبی و خوشبندی PAM، اندازه مشابهت کسینوسی (Cosine Similarity Mmeasure) را اندازه‌گیری کردیم. با توجه به نتایج بدست آمده در

جدول ۳. میزان تطابق نتایج خوشبندی PAM و AGNE

|           | BP   | MF   | CC   |
|-----------|------|------|------|
| PAM-AGNES | 0/71 | 0/84 | 0/88 |

جدول ۴. ارزیابی نتایج خوشبندی PAM و AGNES

| GO aspects | Clustering methods | Dunn | wb ratio | Hubert gamma |
|------------|--------------------|------|----------|--------------|
| BP         | PAM                | 0/76 | 0/77     | 0/73         |
|            | AGNES              | 0/76 | 0/80     | 0/74         |
| MF         | PAM                | 0/68 | 0/70     | 0/66         |
|            | AGNES              | 0/85 | 0/70     | 0/69         |
| CC         | PAM                | 0/61 | 0/65     | 0/65         |
|            | AGNES              | 0/63 | 0/62     | 0/67         |

از تعداد دوازده خوش‌قرار گرفته‌اند به روش AGNES تعداد هفت خوش‌قرار دارای عبارت‌های غنی‌شده آماری بوده‌اند. از تعداد ۲۹ عبارت غنی‌شده آماری یافت شده در خوش‌قرار، تعداد ۲۱ عبارت در مجموعه کل داده‌ها به عنوان غنی‌شده آماری شناسایی نشده‌اند. بنابراین روش AGNES نیز به خوبی روش PAM توانسته، الگوهای جدیدی را شناسایی کند. به منظور مقایسه و ارزیابی دو روش PAM و AGNES از شاخص‌های Dunn INDEX، نسبت wb و همبستگی Hubert Gamma استفاده شد. مقدار مطلوب برای این سه شاخص به ترتیب مقادیر دورتر از صفر، نزدیک به صفر و نزدیک به یک خواهد بود. با توجه به نتایج حاصل در جدول ۴، به دلیل نزدیکی مقادیر به یکدیگر هر دو روش، عملکرد بسیار نزدیک به یکدیگر داشته‌اند و می‌توان گفت، براساس این سه شاخص، ساختار خوشبندی‌های حاصل چشمگیر نبوده‌اند. اما باید در نظر داشت، روش‌های خوشبندی PAM و AGNES

براساس تفاسیر GO، به رغم ایجاد عرض سایه‌نمای کل ضعیف، به خوبی توانسته‌اند، الگوهای تفسیر جدیدی را شناسایی کنند که متفاوت از عبارت‌های بیش نشان-داده شده آماری در مجموعه کل داده‌ها بوده‌اند. بنابراین می‌توان گفت، اگر چه براساس منابع موجود در استفاده از روش PAM و AGNES خوش‌های بوجود آمده با  $S_i^C \leq 0.25$  چندان قابل تفسیر نیستند اما چنین چیزی در مورد خوشبندی پروتئین‌ها درست نیست و خوش‌های با مقادیر کم  $S_i^C$  نیز از لحاظ بیولوژیکی خوش‌هایی قابل تفسیر هستند.

## بحث و نتیجه‌گیری

در مطالعه مجموعه‌ای از پروتئین‌ها، همواره هدف این است تا به الگوها و روابط و تفاسیری از آن‌ها دست یابیم که شاید ناشناخته مانده باشند. شریل ولتینگ و همکاران در سال ۲۰۰۶ مجموعه‌ای از داده‌های

پروتئینی مربوط به مخمر را به کمک روش خوشبندی تقسیم بندی حول نماینده‌ها براساس تشابهات هستی-شناصی ژنی خوشبندی کردند و داخل خوشبندی به الگوهای تفسیر جدید دست یافتند (۱۲). آن‌ها علاقه‌مند بودند، از روش PAM در خوشبندی پروتئین‌های موجودات عالی‌تر استفاده کنند. در این پژوهش با اجرای روش خوشبندی PAM برای تحلیل پروتئین‌های مرتبط با سرطان‌های دستگاه گوارش مشخص شد، تحلیل خوشبندی توanstه، الگوهای تفسیر جدیدی را در مجموعه داده‌ها آشکار سازد. همچنین به منظور مقایسه روش خوشبندی سلسله مراتبی با روش تقسیم‌بندی حول نماینده‌ها با اجرای هر دو روش و تعیین عبارت‌های غنی‌شده آماری مشخص شد، روش‌های خوشبندی PAM و AGNES توanstه‌اند زیرمجموعه‌های کوچکی را داخل داده‌ها ایجاد کنند که با تعیین عبارت GO پروتئین میدوئید به عنوان برچسب نماینده آن خوش، به الگوهای جدیدی دست یابیم که با نگاه کلی به داده‌ها به چشم نیامده‌اند. این الگوهای شناسایی‌شده، ما را به مطالعات و پی‌گیری آزمایش‌های بیشتر برای بررسی مکانیسم‌ها و تأثیر وجود اثرات متقابل در غربالگری آرایه پروتئین‌ها ترغیب می‌کند.

از آنجا که در بررسی کل داده‌ها تنها توanstیم چهار عبارت از هشت عبارت برچسب میدوئید غنی‌شده آماری بدست‌آمده از خوشبندی PAM را مشخص کنیم، خود نشان‌دهنده آن است که مطالعه کلی پروتئین‌ها توanstه در مورد ارتباطات بین زیرمجموعه‌های کوچک‌تر، ایده‌های چندانی بدهد، بنابراین در چهار خوش از هشت خوش تولیدشده به روش PAM، به نتایجی مبنی بر وجود الگوهای جدید کشف‌نشده در مجموعه داده‌ها می‌رسیم. با توجه به این که برچسب خوش سوم حاصل از اجرای روش PAM، براساس BP در بررسی کلی داده‌ها در وب‌سایت GO به عنوان عبارات غنی‌شده آماری شناسایی نشده‌است، بنابراین یک مجموعه از داده‌ها را شناسایی کرده‌ایم که نشان‌دهنده وجود الگوهای جدیدی هستند که قبلًا مشاهده

نشده‌اند، پس لازم است، این خوش بیشتر مرد تحلیل شود.

همچنین برچسب خوش اول حاصل از اجرای روش PAM براساس MF نیز در مطالعه کلی داده‌ها به عنوان یک عبارت غنی‌شده آماری شناسایی نشد که این خوش نیز باید بیشتر بررسی شود. در روش خوشبندی AGNES نیز ۲۱ عبارت از ۲۹ عبارات GO غنی‌شده آماری یافت شده در خوش‌های، در مجموعه کل داده‌ها شناسایی نشده‌اند که به مطالعه بیشتر نیاز دارند. روش‌های خوشبندی PAM و AGNES دارای نتایج بسیار مشابهی شدند و ارزیابی‌ها نیز نشان داد، هر دو روش عملکرد به نسبت مشابهی داشته‌اند. شاید بتوان گفت، روش PAM به دلیل معرفی نماینده‌ای برای هر خوش دقیق‌تر عمل کرده در حالی که روش AGNES ساده‌تر بوده است. همچنین پروتئین‌های شماره ۳ و ۴ در تمامی خوشبندی‌ها در کنار یکدیگر قرار گرفتند و به نظر می‌رسد، ارتباط خاصی بین این سرطان‌ها و این دو پروتئین برقرار باشد و لازم است این دو پروتئین بیشتر مطالعه شوند. بررسی بیشتر خوش‌های حاصل از خوشبندی‌های PAM و AGNES براساس CC، نشان داد، پروتئین‌های قرارگرفته در هر خوش از لحاظ عملکرد و فرایندهای بیولوژیکی که در آن‌ها نقش دارند دارای تشابهات بسیاری هستند که خود تأمل‌برانگیز است. شاید با مطالعات بیشتر بتوان گفت، چنانچه مجموعه‌ای از پروتئین‌ها را داشته باشیم که مکان آن‌ها در سلول مشخص باشد، با خوشبندی آن‌ها براساس CC، بتوان خوش‌هایی تولید کرد که پیش‌بینی کنند، پروتئین‌های موجود در هر خوش دارای کارکردهای مشترکی هستند یا در فرایندهای بیولوژیکی مشابهی نقش دارند.

## تشکر و قدردانی

این مقاله، حاصل طرح تحقیقاتی مشترک بین گروه آمار زیستی و مرکز تحقیقات پروتئومیکس دانشکده پیراپزشکی دانشگاه علوم پزشکی شهید بهشتی است که به‌دین وسیله از هیئت رئیسه محترم دانشکده پیراپزشکی برای تأمین بودجه طرح پژوهشی، صمیمانه سپاسگزاری می‌شود.

### منابع

- 1- Tavoli A, Montazeri Ali, Mohagheghi MA, Roushan Rasoul, Tavoli Z, Meliani M. Role of information of cancer diagnosis in the quality of patients life are affected by digestive system cancer. Payesh, 6'th Year, No.3, 1386.
- 2- Are the number of cancer cases increasing or decreasing in the world?, April 2008, Available from World health organization:  
<http://www.who.int/features/qa/15/en/index.html>.
- 3- Parkin DM. Epidemiology of cancer: global patterns and Trends. Toxicol Lett 1998; 227:102-103.
- 4- M. Rezaei Tavirani, A. Marashi, F. Ghalanbar, M. Mostafavi. Preoteomics. Andishe Zohoor Publication, 1384.
- 5- Khatri P, Draghici S. Ontological analysis of gene expression data: current tools, limitations, and open problems. Bioinformatics 2005; 21:3587-3595.
- 6- Boris Andryan, Reinhard Schuch. Gene-Ontology-based clustering of gene expression data. Bioinformatics 2004; vol.20.no.16.
- 7- Popescu M, Keller IM, Mitchell JA, Bezdek JC. Functional summarization of gene produced clusters using Gene Ontology similarity measures. Intelligent Sensors, Sensor Networks and Information Processing Conference; 2004, 553-558.
- 8- Hugo Bastos, Daniel Faria, Catia pesquita and Andreo Flacao. Using GO terms to evaluate protein clustering. In ISMB/ECCB 2007 SIG Meeting Program Materials, Julay 2007; pages 107—110.
- 9- Kristian Ovaska, Marko Laakso and Sampsa Hautaniemi. Fast Gene Ontology based clustering for microarray experiments. BioData Mining 2008; 1:11.
- 10- Nasibeh Khaier, Mostafa Rezaei-Tavirani, Amir Rostami. Proteomics analysis of included proteins in esophagus, stomach and colon cancer. 10<sup>th</sup> Iranian congress of Biochemistry and 3<sup>rd</sup> international congress of Biochemistry and Molecular Biology; Tehran, 2009.
- 11- Search the Gene Ontology database, 2009 May-June, Available from <http://amigo.geneontology.org/cgi-bin/amigo/go.cgi>
- 12- Cheryl Wolting, C Jane McGlade, and David Trichler. Cluster analysis of protein array results via similarity of Gene Ontology Annotation. BMC Bioinformatics July 2006; Vol. 7.
- 13- Lord PW, Stevens RD, Brass A, Goble CA. investigating semantic similarity measures across the Gene Ontology: the relationship between sequence and annotation. Bioinformatics 2003; 19:1275-1283.
- 14- Leonard Kaufman, Peter J. Rousseeuw. Finding Groups in data- An Introduction to Cluster Analysis. John Wiley & Sons, Inc. Publication, ISBN 0-471-73578-7.
- 15- Richard A. Johnson, Dean W. Wichern. Applied Multivariate Statistical Analysis. Prentice Hall, Englewood Cliffs, New Jersey;1988.
- 16- Susmita Datta, Somnath Datta. Methods for evaluating clustering algorithms for gene expression data using a reference set of functional classes. Department of Bioinformatics and Biostatistics, University of Louisville, Louisville, KY 40202, USA,2006.
- 17- Sneath, P.H.A. and Sokal, R.R. Numerical Taxonomy: The Principles and Practice of Numerical Classification, p. 278 ff; Freeman, San Francisco,1973.
- 18- Halkidi M, Batistakis Y, Vazirgiannis M. Cluster validity methods, SIGMOD, Record 31, 40-45, 2002.
- 19- Milligan, G. W. and Cooper MC. An examination of procedures for determining the number of clusters. Psychometrika, 50, 159-179, 1985.
- 20- Gordon A. D. (1999) Classification, 2nd ed. Chapman and Hall, 1999.
- 21- Michael J. Crawley. The R Book. Imperial College London at Silwood Park, UK, 2007.
- 22- The R Project for Statistical Computing Available from: URL: <http://www.r-project.org>, Version 2.8.